

# Th i

Abstract  
Introduction  
1.1. Background  
1.2. Objectives  
2. Materials and Methods  
2.1. Materials  
2.2. Experimental Procedure  
3. Results and Discussion  
3.1. Microstructure  
3.2. Mechanical Properties  
4. Conclusions  
References

Abstract  
Introduction  
1.1. Background  
1.2. Objectives  
2. Materials and Methods  
2.1. Materials  
2.2. Experimental Procedure  
3. Results and Discussion  
3.1. Microstructure  
3.2. Mechanical Properties  
4. Conclusions  
References

## KEYWORDS:

## INTRODU

Abstract  
Introduction  
1.1. Background  
1.2. Objectives  
2. Materials and Methods  
2.1. Materials  
2.2. Experimental Procedure  
3. Results and Discussion  
3.1. Microstructure  
3.2. Mechanical Properties  
4. Conclusions  
References

Abstract  
Introduction  
1.1. Background  
1.2. Objectives  
2. Materials and Methods  
2.1. Materials  
2.2. Experimental Procedure  
3. Results and Discussion  
3.1. Microstructure  
3.2. Mechanical Properties  
4. Conclusions  
References

Jun Young Kim, Youngjo Kang  
 Hye Ran Lee, Ik Hwan Kwon



Fig.1 - Schematic diagram of the experimental setup for the study of the oxidation of stainless steel.

### EXPERIMENTAL

8, 10, 12, 14, 16, 18, 20, 22, 24, 26, 28, 30, 32, 34, 36, 38, 40, 42, 44, 46, 48, 50, 52, 54, 56, 58, 60, 62, 64, 66, 68, 70, 72, 74, 76, 78, 80, 82, 84, 86, 88, 90, 92, 94, 96, 98, 100, 102, 104, 106, 108, 110, 112, 114, 116, 118, 120, 122, 124, 126, 128, 130, 132, 134, 136, 138, 140, 142, 144, 146, 148, 150, 152, 154, 156, 158, 160, 162, 164, 166, 168, 170, 172, 174, 176, 178, 180, 182, 184, 186, 188, 190, 192, 194, 196, 198, 200, 202, 204, 206, 208, 210, 212, 214, 216, 218, 220, 222, 224, 226, 228, 230, 232, 234, 236, 238, 240, 242, 244, 246, 248, 250, 252, 254, 256, 258, 260, 262, 264, 266, 268, 270, 272, 274, 276, 278, 280, 282, 284, 286, 288, 290, 292, 294, 296, 298, 300, 302, 304, 306, 308, 310, 312, 314, 316, 318, 320, 322, 324, 326, 328, 330, 332, 334, 336, 338, 340, 342, 344, 346, 348, 350, 352, 354, 356, 358, 360, 362, 364, 366, 368, 370, 372, 374, 376, 378, 380, 382, 384, 386, 388, 390, 392, 394, 396, 398, 400, 402, 404, 406, 408, 410, 412, 414, 416, 418, 420, 422, 424, 426, 428, 430, 432, 434, 436, 438, 440, 442, 444, 446, 448, 450, 452, 454, 456, 458, 460, 462, 464, 466, 468, 470, 472, 474, 476, 478, 480, 482, 484, 486, 488, 490, 492, 494, 496, 498, 500, 502, 504, 506, 508, 510, 512, 514, 516, 518, 520, 522, 524, 526, 528, 530, 532, 534, 536, 538, 540, 542, 544, 546, 548, 550, 552, 554, 556, 558, 560, 562, 564, 566, 568, 570, 572, 574, 576, 578, 580, 582, 584, 586, 588, 590, 592, 594, 596, 598, 600, 602, 604, 606, 608, 610, 612, 614, 616, 618, 620, 622, 624, 626, 628, 630, 632, 634, 636, 638, 640, 642, 644, 646, 648, 650, 652, 654, 656, 658, 660, 662, 664, 666, 668, 670, 672, 674, 676, 678, 680, 682, 684, 686, 688, 690, 692, 694, 696, 698, 700, 702, 704, 706, 708, 710, 712, 714, 716, 718, 720, 722, 724, 726, 728, 730, 732, 734, 736, 738, 740, 742, 744, 746, 748, 750, 752, 754, 756, 758, 760, 762, 764, 766, 768, 770, 772, 774, 776, 778, 780, 782, 784, 786, 788, 790, 792, 794, 796, 798, 800, 802, 804, 806, 808, 810, 812, 814, 816, 818, 820, 822, 824, 826, 828, 830, 832, 834, 836, 838, 840, 842, 844, 846, 848, 850, 852, 854, 856, 858, 860, 862, 864, 866, 868, 870, 872, 874, 876, 878, 880, 882, 884, 886, 888, 890, 892, 894, 896, 898, 900, 902, 904, 906, 908, 910, 912, 914, 916, 918, 920, 922, 924, 926, 928, 930, 932, 934, 936, 938, 940, 942, 944, 946, 948, 950, 952, 954, 956, 958, 960, 962, 964, 966, 968, 970, 972, 974, 976, 978, 980, 982, 984, 986, 988, 990, 992, 994, 996, 998, 1000.

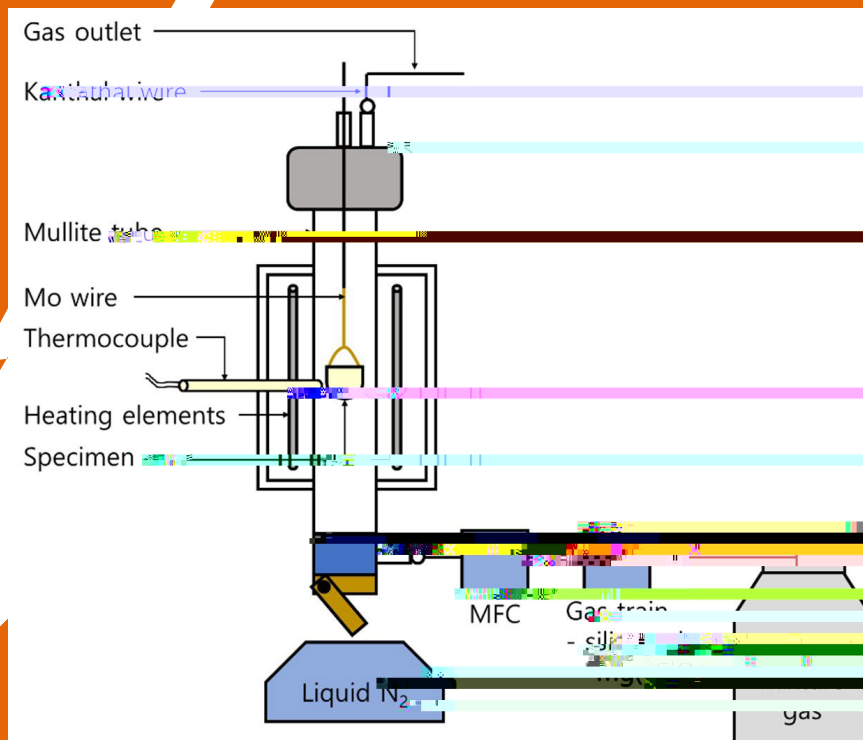


Fig.2 - Schematic diagram of the experimental setup for the study of the oxidation of stainless steel.

303  
] . A.,

## Etincelles et dégradation de l'acier

Les débris d'acier sont éjectés lors de la coupe à l'arc électrique. Ces débris sont constitués de particules d'acier qui ont subi une déformation plastique et une dégradation chimique. Les débris d'acier sont constitués de particules d'acier qui ont subi une déformation plastique et une dégradation chimique. Les débris d'acier sont constitués de particules d'acier qui ont subi une déformation plastique et une dégradation chimique.

Les débris d'acier sont éjectés lors de la coupe à l'arc électrique. Ces débris sont constitués de particules d'acier qui ont subi une déformation plastique et une dégradation chimique. Les débris d'acier sont constitués de particules d'acier qui ont subi une déformation plastique et une dégradation chimique. Les débris d'acier sont constitués de particules d'acier qui ont subi une déformation plastique et une dégradation chimique.



3

Les débris d'acier sont éjectés lors de la coupe à l'arc électrique. Ces débris sont constitués de particules d'acier qui ont subi une déformation plastique et une dégradation chimique. Les débris d'acier sont constitués de particules d'acier qui ont subi une déformation plastique et une dégradation chimique.

Les débris d'acier sont éjectés lors de la coupe à l'arc électrique. Ces débris sont constitués de particules d'acier qui ont subi une déformation plastique et une dégradation chimique. Les débris d'acier sont constitués de particules d'acier qui ont subi une déformation plastique et une dégradation chimique.

### SUMMARY

Les débris d'acier sont éjectés lors de la coupe à l'arc électrique. Ces débris sont constitués de particules d'acier qui ont subi une déformation plastique et une dégradation chimique. Les débris d'acier sont constitués de particules d'acier qui ont subi une déformation plastique et une dégradation chimique.

### ACKNOWLEDGEMENT

Les débris d'acier sont éjectés lors de la coupe à l'arc électrique. Ces débris sont constitués de particules d'acier qui ont subi une déformation plastique et une dégradation chimique. Les débris d'acier sont constitués de particules d'acier qui ont subi une déformation plastique et une dégradation chimique.

### REFERENCES

1. ... 1972, ... 10, 357-368.
2. ... 2000, ... 71, 15-21.

[TORNA ALL'INDICE >](#)